

## ارزیابی احیا طبیعی برخی از خصوصیات فیزیکی خاک آسیب دیده جنگل در اثر چوبکشی زمینی

زهرا محمدی<sup>۱\*</sup>، رامین نقدی<sup>۲</sup>، مهدی عاکفی<sup>۳</sup>، ایرج باقری<sup>۴</sup> و علیرضا صیادی<sup>۵</sup>

<sup>۱</sup>- نویسنده مسئول، کارشناس ارشد، گروه خاکشناسی، دانشکده کشاورزی، دانشگاه گیلان، صومعه سرا. پست الکترونیک: mohammadi\_z@hotmail.com

<sup>۲</sup>- دانشیار، گروه جنگلداری، دانشکده منابع طبیعی، دانشگاه گیلان، صومعه سرا

<sup>۳</sup>- استادیار، دانشکده کشاورزی، دانشگاه گیلان، صومعه سرا

<sup>۴</sup>- مریبی، دانشکده کشاورزی، دانشگاه گیلان، صومعه سرا

<sup>۵</sup>- کارشناس ارشد، جنگلداری، اداره کل منابع طبیعی و آبخیزداری استان گیلان، صومعه سرا

تاریخ پذیرش: ۹۱/۶/۵ تاریخ دریافت: ۹۰/۸/۱۰

### چکیده

تردد ماشینآلات چوبکشی می‌تواند اثرهای مخرب طولانی‌مدتی بر خصوصیات فیزیکی خاک از جمله جرم مخصوص ظاهری و مقاومت خاک داشته باشد. این تحقیق به منظور بررسی میزان بازیابی خصوصیات فیزیکی خاک تراکم یافته در طی دوره ۲۰ ساله در جنگل اسلام در شمال ایران انجام گرفت. بدین منظور سه پارسل از سری یک و دو ناو اسلام انتخاب گردید. تیمارها شامل سه دوره زمانی (۱۰ و ۲۰ سال)، دو طبقه شب (بیشتر و کمتر از ۲۰ درصد) و دو سطح ترافیک (زیاد و کم) بود. به منظور اندازه‌گیری جرم مخصوص ظاهری و مقاومت خاک، پلاٹی به ابعاد ۱۲×۵ متر تعیین و در هر پلاٹ، نمونه‌برداری در مسیرهای چوبکشی و شاهد انجام شد. آزمایش جرم مخصوص ظاهری در آزمایشگاه انجام شد و مقاومت خاک با استفاده از دستگاه پترومتر، اندازه‌گیری گردید. نتایج نشان داد که شب طولی مسیر و شدت ترافیک فاکتورهای بسیار مهم بر روند بازیابی خاک در مسیرهای اسکیدررو بودند، به طوری که بیشترین کوییدگی خاک در شب بیشتر از ۲۰٪ و سطح ترافیک زیاد اتفاق افتاد. همچنین نتایج نشان داد که ۲۰ سال بعد از زمان چوبکشی، جرم مخصوص ظاهری و مقاومت خاک در حال بازیابی بودند، اما با مقادیر شاهد تفاوت معنی دار داشتند.

واژه‌های کلیدی: احیا طبیعی، خاک جنگلی، ویژگیهای فیزیکی خاک.

حافظت از جنگلها به عنوان یک ثروت ملی و تأثیر انکارناپذیری که در ایجاد یک محیط مناسب زندگی دارند در حقیقت حفظ سرمایه حیات برای تضمین و تداوم زندگی نسل‌های آینده می‌باشد. حفظ جنگلها کشور را قادر می‌سازد تا در برنامه‌های توسعه اقتصادی خود مطمئن‌تر قدم بردارد (Habibnejad, 2000). در جنگل‌داری، ماشین‌های مدرن بهره‌برداری و حمل و نقل چوب که به علل اقتصادی لازم است که در تمام طول سال و بدون

### مقدمه

کشور ایران به رغم وسعت زیاد در زمراه کشورهای کم جنگل دنیا قرار دارد. جنگلها مستقیماً به عنوان منابع اقتصادی به منظور تولید چوب و فرآورده‌های آنها سخت مورد توجه قرار دارند و برخلاف معادن زیرزمینی که زوال‌پذیر و پایان‌یافتنی می‌باشند؛ این ثروت بی‌کران در صورتی که با اصول علمی و فنی مورد بهره‌برداری قرار گیرند یک ثروت دائمی و فنا‌پذیر به شمار می‌رود. احیا و

۵ سانتی‌متر)، بیشترین بازیابی را نشان داد و ترمیم در لایه‌های پایینی خاک کمتر بود. بازیابی کامل لایه سطحی به اندازه خاک غیرمتراکم در پلات‌هایی که در معرض ۴ بار و یا کمتر تردد ماشین‌آلات قرار داشتند مشاهده شد. نتایج نشان داد که سه سال پس از عملیات بهره‌برداری، جرم مخصوص ظاهری در تردد شدید هنوز بیشتر از ناحیه تردد کم بوده است، به طوری که این تیمار دارای بیشترین مقاومت نفوذی به نسبت تردد کم بوده است. (Croke *et al.*, 2001) در نتیجه مطالعات خود در استرالیا بیان داشتند که میانگین جرم مخصوص ظاهری در تمام مسیرهای چوبکشی  $1/4$  مگاگرم بر مترمکعب بوده و در طی دوره زمانی ۵ ساله کاهش معنی‌داری در مقادیر آن در مسیرهای چوبکشی در هر سه طبقه سنی مشاهده نشد که این امر تداوم اثرهای تراکم ناشی از تردد ماشین‌آلات را روی ساختمان خاک سطحی نشان می‌دهد. همچنین Webb (2002) در بررسی بازیابی خاکهای شدیداً متراکم در کالیفرنیا، دریافت که ترمیم طبیعی در این مناطق بسیار آرام است و برای بازیابی کامل خصوصیات فیزیکی خاک حدود ۷۰ تا ۱۲۴ سال زمان لازم می‌باشد. این مطالعه در جستجوی تعیین روند کلی بازیابی جرم مخصوص ظاهری و مقاومت خاک در سطوح مختلفی از شدت ترافیک و شب طولی در مسیرهای چوبکشی است.

## مواد و روشها

این تحقیق در پارسل ۲۲۰، ۱۲۶ و ۱۱۵ از سری یک و دو جنگلهای تحت پوشش جنگل‌داری شفارود اسلام، که مدت زمان سپری شده از آخرین چوبکشی در آنها به ترتیب ۱، ۱۰ و ۲۰ سال می‌باشد، انجام شده است. مشخصات عمومی این سه پارسل در جدول ۱ آورده شده است.

توجه به اثرهای متقابل آب و هوا و خاک فعالیت نمایند، وزن زیادی را به خاک منتقل می‌کنند. نتیجه وارد شدن چنین نیروهایی به خاک، تغییر و آسیب ساختمان خاک است که اغلب تراکم خاک را پدید می‌آورد (Eisenbies *et al.*, 2007).

افزایش تراکم اغلب باعث افزایش جرم مخصوص ظاهری و افزایش مقاومت خاک می‌شود (Zenner *et al.*, 2007)، که با کاهش حجم منافذ درشت خاک همراه است (Susnjari *et al.*, 2006). از عوامل بسیار مهم در میزان تخریب خاک تعداد ترددات در مسیر چوبکشی می‌باشد، محققین نشان دادند که حداقل افزایش جرم مخصوص خاک در چند تردد اولیه اتفاق می‌افتد و اگرچه ترددات بعدی سبب افزایش جرم مخصوص شده، ولی روند تغییرات آن معنی‌دار نیست (Ampoorter *et al.*, 2007). از دیگر عوامل تأثیرگذار بر روند تخریب خاک شب طولی مسیر می‌باشد؛ به طوری که با افزایش شب طولی مسیر میزان تخریب خاک از نظر وسعت و شدت افزایش یافته و صدمه به خاک در ترددات کمتر اتفاق می‌افتد (Solgi, 2007).

بازیابی خاکهای جنگلی تخریب شده تحت شرایط اقلیمی و بدون انجام فعالیت‌های انسانی بسیار کند بوده و بسته به عواملی چون بافت خاک، شرایط آب و هوایی، شدت و وسعت خسارات و فعالیت فون و فلور خاک می‌تواند از یک سال در لایه‌های سطحی تا ۱۰۰ سال در لایه‌های عمیق‌تر به طول بیانجامد (Rab, 2004).

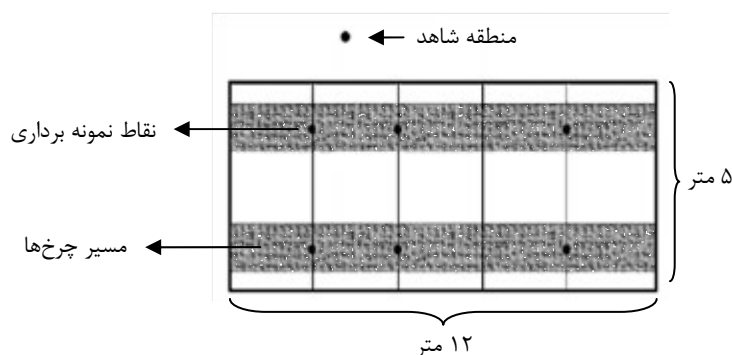
Zenner *et al.* (2007) با بررسی اثرهای سطوح مختلف تردد در چوبکشی زمینی روی تخریب خاک در مینه‌سوتا امریکا دریافتند که میزان بازیابی خاک در این مطالعه بسته به مقدار تراکم و عمق خاک متفاوت است و در لایه‌های عمیق‌تر به زمان بیشتری نیاز دارد. با گذشت سه سال از زمان چوبکشی، لایه سطحی خاک (عمق ۰ تا

جدول ۱- مشخصات عمومی مناطق مورد مطالعه

مشخصات عمومی	پارسل ها	پارسل ها	پارسل ها
شماره پارسل	۲۲۰	۱۲۶	۱۱۵
طول جغرافیایی	$۴۸^{\circ} ۴۹' ۰۰/۶۴'' E$	$۴۸^{\circ} ۴۹' ۲۴/۳۱'' E$	$۴۸^{\circ} ۴۹' ۲۵/۵۱'' E$
عرض جغرافیایی	$۳۷^{\circ} ۳۹' ۲۱/۵۵'' N$	$۳۷^{\circ} ۳۹' ۰۷/۰۱'' N$	$۳۷^{\circ} ۳۹' ۲۱/۸۶'' N$
حداکثر ارتفاع از سطح دریا (متر)	۱۲۲۰	۱۲۵۰	۱۱۱۰
حداقل ارتفاع از سطح دریا (متر)	۸۵۰	۹۳۰	۹۴۰
تیپ جنگل	راش با سایر گونه ها	راش با سایر گونه ها	راش با سایر گونه ها
مدت زمان سپری شده از آخرین چوبکشی (سال)	۱	۱۰	۲۰

ترکیب دو طبقه ترافیک، دو طبقه شیب و سه دوره سنی بدست آمدند و در کل ۱۲ پلات (با ابعاد ۱۲ متر طول و ۵ متر عرض) در این مطالعه پیاده شد. بهمنظر مطالعه مشخصه های مورد نظر در هر تیمار، نمونه های خاک در هر پلات در طول ۴ خط تصادفی در مسیر چرخ ها عمود بر جهت حرکت و با فاصله حدود  $2/4$  متر بین خطها گرفته شد. سپس سه خط به طور تصادفی انتخاب و در دو نقطه روی هر خط (مسیر حرکت چرخ چپ و راست) و یک نقطه خارج از پلات (شاهد) یک نمونه از عمق  $0-15$  سانتی متری گرفته شد (شکل ۱).

در این پارسل ها، به منظور حمل و نقل گردبینه ها از سیستم چوبکشی زمینی به وسیله اسکیدرهای چرخ لاستیکی استفاده می شود. برای انجام این تحقیق در هر یک از دوره های سنی ( $1$ ،  $10$  و  $20$  سال)، مسیرهای چوبکشی با جهت چوبکشی رو به پایین پس از بررسیهای دقیق صحراوی انتخاب شدند که دامنه و تنوع شیب طولی در آنها زیاد و همچنین قادر شیب عرضی بودند. بخش هایی از مسیرهای چوبکشی که دارای شرایط کم و بیش شیبی به هم بودند، گزینش شد. در هر مسیر دو طبقه شیب ( $0-20$  و بیشتر از  $20$  درصد) و دو طبقه ترافیک (شدید و کم) شناسایی شدند (Solgi, 2007). تیمارهای مورد مطالعه از



شکل ۱- مکان نمونه برداری در پلات ها

جدول ۲- نتایج تجزیه واریانس مقادیر جرم مخصوص ظاهری  
خاک در مسیرهای چوبکشی

P	F	درجه آزادی	منبع تغییرات
۰/۱۸۲	۱/۸۴۳ <sup>ns</sup>	۲	بلوک
۰/۰۰۰۱	۲۵/۳۳۷**	۲	سال
۰/۰۰۰۱	۴۶/۲۰۶**	۱	شیب
۰/۰۰۳	۱۱/۱۹۲**	۱	ترافیک
۰/۵۱۶	۰/۶۸۲ <sup>ns</sup>	۲	سال × شیب
۰/۴۴۹	۰/۸۳۰ <sup>ns</sup>	۲	سال × ترافیک
۰/۱۸۶	۱/۸۶۷ <sup>ns</sup>	۱	شیب × ترافیک
۰/۹۶۶	۰/۰۳۵ <sup>ns</sup>	۲	سال × شیب × ترافیک
		۲۲	خطا
		۳۵	کل

\*\*: تفاوت معنی دار در سطح یک درصد و ns: عدم وجود تفاوت معنی دار

جدول ۳ روند تغییرات جرم مخصوص ظاهری را در سالهای مختلف بهره برداری نشان می دهد، به طوری که در مسیر یک سال بعد از برداشت بیشترین مقدار و در مسیر ۲۰ سال حداقل مقدار را دارد. نتایج آزمون مقایسه میانگین داده های جرم مخصوص ظاهری نشان داد که مقادیر آن در موقعیت ۱۰ سال و ۲۰ سال تفاوت معنی داری با هم ندارند، اما با موقعیت ۱ سال بعد از آخرین چوبکشی و نیز موقعیت شاهد دارای اختلاف معنی دار می باشد.

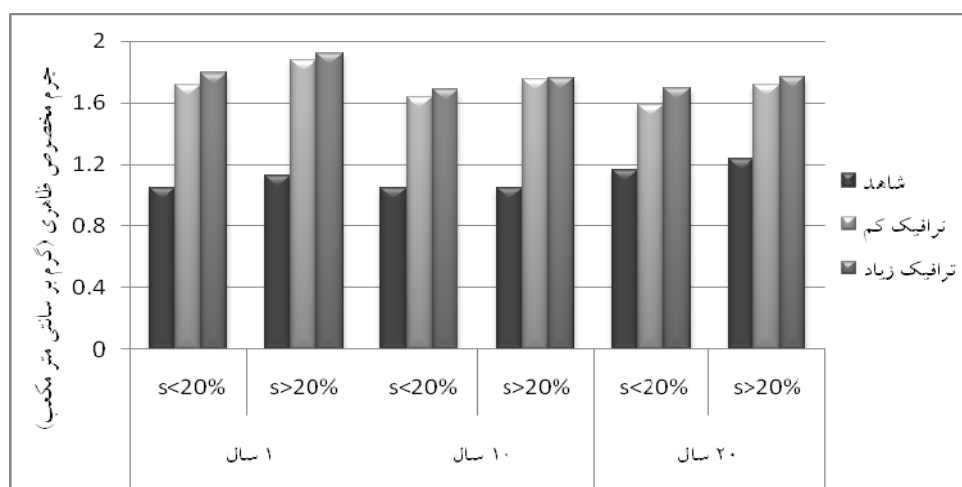
شکل ۳ درصد اختلاف جرم مخصوص ظاهری نسبت به شاهد را در سه دوره زمانی نشان می دهد که این درصد اختلاف در سال اول بیشترین تفاوت نسبت به شاهد را دارد و در دوره زمانی سوم (۲۰ سال بعد از چوبکشی)، به کمترین مقدار رسیده است. بین درصد اختلاف جرم مخصوص ظاهری نسبت به شاهد و زمان پس از چوبکشی تفاوت معنی داری در سطح ۱ درصد وجود دارد.

برای انجام آزمایش جرم مخصوص ظاهری از هر نقطه تعیین شده کلوخه تهیه شد و کلیه نمونه ها با احتیاط كامل به آزمایشگاه انتقال یافت. در آزمایشگاه نیز جرم مخصوص ظاهری نمونه ها به روش کلوخه، با استفاده از پارافین و به روش وزنی (Klute, 1986) تعیین شد. همچنین برای اندازه گیری مقاومت خاک در هر نقطه نمونه برداری از دستگاه پتروومتر استفاده شد (Zenner et al., 2007)؛ تا با مقایسه این شاخص ها با ناحیه شاهد میزان بازیابی در مسیرهای چوبکشی مورد مقایسه قرار گیرند (Rab, 2004). تحلیل آماری با استفاده از نرم افزار SPSS به منظور تعیین معنی داری اختلاف بین مقادیر جرم مخصوص ظاهری و مقاومت در طی سه دوره زمانی، طبقه های شیب و سطوح ترافیک انجام شد. مقایسه میانگین داده های جرم مخصوص ظاهری و مقاومت در سالهای مختلف پس از چوبکشی و طبقه های شیب و سطوح ترافیک نیز با استفاده از آزمون دانکن در سطح احتمال ۱ درصد انجام شد.

## نتایج

### جرم مخصوص ظاهری

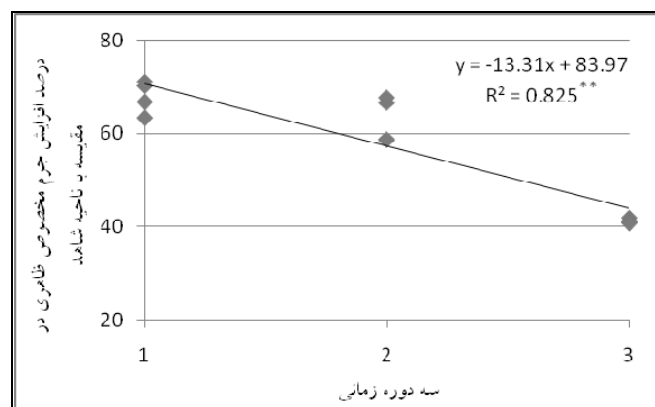
تجزیه و تحلیل مقادیر مربوط به جرم مخصوص ظاهری خاک در مسیرهای چوبکشی با استفاده از آنالیز واریانس دو طرفه به روش بلوک های كامل تصادفی برای هر یک از مسیرهای چوبکشی در جدول ۲ نشان داده شده است. نتایج نشان می دهد که اثر سن، شیب و ترافیک های مختلف روی جرم مخصوص ظاهری خاک در سطح یک درصد معنی دار است، اما اثرهای متقابل این عوامل بر روی جرم مخصوص ظاهری معنی دار نبوده است. نتایج اندازه گیری جرم مخصوص ظاهری نشان داد که با افزایش شدت شیب و ترافیک در تمام مسیرهای چوبکشی در هر سه دوره زمانی، جرم مخصوص ظاهری خاک نسبت به شاهد افزایش پیدا کرده است (شکل ۲).



شکل ۲- روند تغییرات جرم مخصوص ظاهری در شب و ترافیک‌های مختلف مسیرهای چوبکشی در سه دوره زمانی

جدول ۳- روند تغییرات (میانگین  $\pm$  اشتباہ معیار) جرم مخصوص ظاهری در سالهای مختلف پس از بهره‌برداری

سالهای مختلف پس از عملیات بهره‌برداری				شاهد
۲۰	۱۰	۱		
$1/69 \pm 0/03^b$	$1/71 \pm 0/02^b$	$1/83 \pm 0/03^a$	$1/15 \pm 0/03^c$	جرم مخصوص ظاهری (گرم بر سانتی‌مترمکعب)



شکل ۳- درصد تفاوت جرم مخصوص ظاهری در مسیرهای چوبکشی در مقایسه با ناحیه شاهد در طی سالهای بعد از چوبکشی (\*\*:  
معنی دار در سطح یک درصد)

شب و اثر ترافیک‌های مختلف در سطح یک درصد معنی دار است، اما اثرهای متقابل این عوامل بر روی مقاومت خاک معنی دار نمی‌باشد.

**مقاومت خاک**  
جدول تجزیه واریانس داده‌های مقاومت خاک در مسیرهای چوبکشی (جدول ۴) نشان می‌دهد که اثر سن،

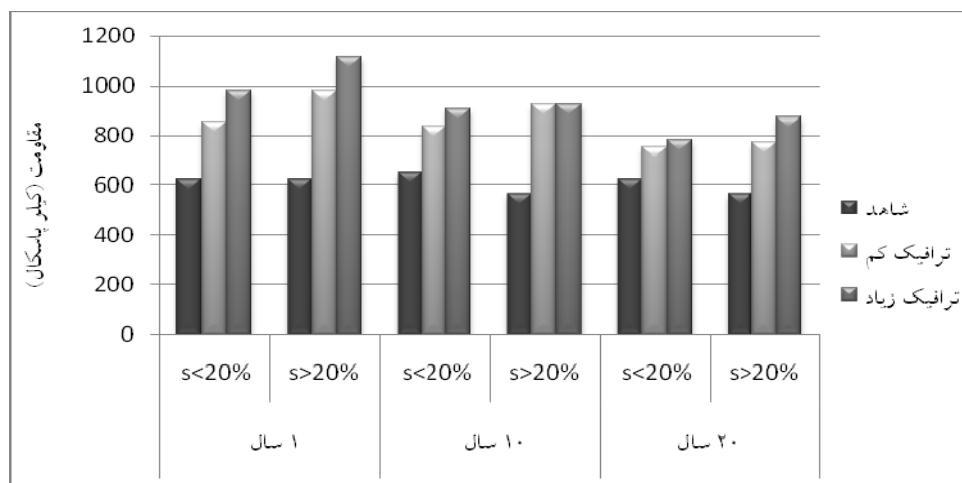
جدول ۴- نتایج تجزیه واریانس مقادیر مقاومت خاک در مسیرهای چوبکشی

P	F	درجه آزادی	منبع تغییرات
۰/۶۹۲	۰/۳۷۴ <sup>ns</sup>	۲	بلوک
۰/۰۰۰۱	۴۴/۱۸۷**	۲	سال
۰/۰۰۰۱	۲۳/۷۵۶**	۱	شیب
۰/۰۰۰۱	۲۱/۹۱۵**	۱	Traffیک
۰/۱۱۳	۲/۴۱۲ <sup>ns</sup>	۲	سال × شیب
۰/۰۶۸	۳/۰۵۴ <sup>ns</sup>	۲	سال × Traffیک
۰/۸۰۵	۰/۰۶۳ <sup>ns</sup>	۱	شیب × Traffیک
۰/۲۲۹	۱/۵۷۷ <sup>ns</sup>	۲	سال × شیب × Traffیک
		۲۲	خطا
		۳۵	کل

\*\*: تفاوت معنی دار در سطح یک درصد و ns عدم وجود تفاوت معنی دار

اول، شیب بیشتر از ۲۰ درصد و شدت Traffیک زیاد و کمترین افزایش مقاومت نسبت به شاهد در دوره زمانی سوم، شیب کمتر از ۲۰ درصد و شدت Traffیک کم می باشد.

نتایج تغییر مقاومت خاک در مسیرهای چوبکشی در مقایسه با شاهد در موقعیت های مختلف در سه دوره زمانی در شکل ۴ ارائه شده است. بیشترین افزایش مقاومت خاک در مقایسه با شاهد مربوط به دوره زمانی



شکل ۴- روند تغییرات مقاومت در شیب و تردد های مختلف مسیرهای چوبکشی در سه دوره زمانی

سه دوره زمانی تفاوت معنی داری را نسبت به شاهد نشان می دهد.

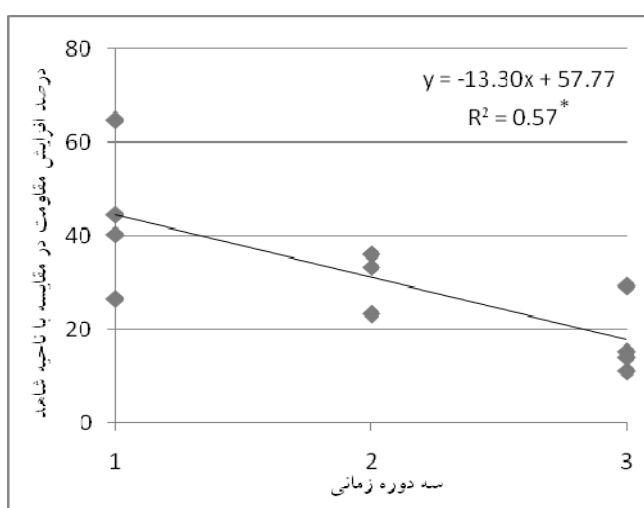
جدول ۵ روند تغییرات میانگین مقاومت خاک را در سه دوره زمانی نشان می دهد. مقدار مقاومت خاک در هر

جدول ۵- روند تغییرات (میانگین  $\pm$  اشتباه معیار) مقاومت خاک در سالهای مختلف پس از بهره‌برداری

سالهای مختلف پس از عملیات بهره‌برداری				شاهد	مقاومت (کیلوپاسکال)
۲۰	۱۰	۱			
$797/36 \pm 19/34^c$	$898/79 \pm 11/62^b$	$985/14 \pm 31/48^a$		$608/64 \pm 15/77^d$	

(شکل ۵) تفاوت معنی‌داری را در سطح پنج درصد نشان می‌دهد.

بررسی درصد اختلاف مقاومت خاک در مسیرهای چوبکشی در مقایسه با ناحیه شاهد در سه دوره زمانی



شکل ۵- درصد تفاوت مقاومت در مسیرهای چوبکشی در مقایسه با ناحیه شاهد در طی سالهای بعد از چوبکشی  
(\*: معنی‌دار در سطح پنج درصد)

که در این تیمارها خاک از استحکام کافی برخوردار نیست و به دلیل شیب‌دار بودن عرصه، خاک دارای کمترین رطوبت پس از انجام عملیات می‌باشد. در ضمن به دلیل شرایط نامساعد، فعالیت موجودات خاکزی در این مناطق حداقل می‌باشد. در شیب‌های بالای ۲۰ درصد، به دلیل کاهش سرعت اسکیدر مدت زمان ویبره خاک بیشتر از مناطق مسطح می‌باشد (Naghdi *et al.*, 2010) که این وضعیت سبب تشدید کوبیدگی مسیر چوبکشی و افزایش زمان بازیابی مؤلفه‌های خاکی می‌شود. بررسی درصد افزایش جرم مخصوص ظاهری نسبت به شاهد در سه دوره زمانی، تفاوت معنی‌داری را در سطح یک درصد نشان می‌دهد (Froehlich *et al.*, 1985) یعنی

## بحث

### جرم مخصوص ظاهری

بررسی تغییرات جرم مخصوص ظاهری در دو طبقه شیب  $-20^\circ$  و بیش از  $20^\circ$  درصد) بیان کننده این مطلب است که علاوه بر شدت تردد، عامل شیب نیز بر روی بازیابی جرم مخصوص ظاهری تأثیر دارد؛ به طوری که با افزایش شیب طولی مسیر میزان بازیابی روند کنترلی را طی کرده است. مقدار جرم مخصوص ظاهری در مسیرهای چوبکشی در هر سه دوره زمانی نسبت به شاهد افزایش داشته است. عدم بازیابی جرم مخصوص ظاهری در شیب‌های بیشتر از  $20^\circ$  درصد شاید به این دلیل باشد

مقدار مقاومت خاک در مسیرهای چوبکشی بعد از گذشت ۲۰ سال ۱۸۹ کیلوپاسکال بیشتر از شاهد بوده، در حالی که یک سال بعد از چوبکشی حدود ۳۷۷ کیلوپاسکال بیشتر از شاهد است، که این بیان گر این مطلب می‌باشد که پس از گذشت زمان، مقاومت کاهش یافته و تراکم خاک در حال بازیابی است (Zenner *et al.*, 2007). البته ۲۰ سال مدت زمان کمی برای داوری در مورد بازیابی خاک در طولانی مدت می‌باشد و باید دوره‌های دیگر را نیز مورد ارزیابی قرار داد تا یک تصمیم قطعی در مورد مدت زمان بازیابی خاک در جنگل ارائه داد.

با گذشت ۲۰ سال از زمان چوبکشی، جرم مخصوصه ظاهری کاهش پیدا کرده و در حال بازیابی است.

### مقاومت خاک

با افزایش شدت ترافیک در تمام مسیرهای چوبکشی، مقاومت افزایش پیدا کرده است. همچنین مقدار افزایش مقاومت در شبیه‌های بیشتر از ۲۰ درصد بیشتر از مقدار آن در شبیه کمتر از ۲۰ درصد است. با وجود گذشت ۲۰ سال، اگرچه مقاومت خاک در مسیرهای چوبکشی در حال نزدیک شدن به مقادیر آن در شاهد است، ولی باز هم دارای تفاوت معنی‌داری در سطح ۱ درصد نسبت به شاهد می‌باشد.

### منابع مورد استفاده

#### References

- Habibnezhad, H., 2000. Investigation on quantitative and qualitative of Caspian Forests of Iran in respect to their rehabilitation, restoration and development. Abstract of First National Conference on Management and Sustainable Development of Caspian Forests of Iran, Ramsar, 2000, Iranian Organization of Forests and Rangelands, page 179.
- Solgi, A., 2007. Evaluation of forest soil damages by HSM 904 skidder. M.Sc. thesis, Tarbiat Modares University, 70 p.
- Ampoorter, E., Goris, R., Cornelis, W.M. and Verheyen, K., 2007. Impact of mechanized logging on compaction status of sandy forest soils. Forest Ecology and Management, 242: 162-174.
- Croke, J., Hairsine, P. and Fogarty, P., 2001. Soil recovery from track construction and harvesting changes in surface infiltration, erosion and delivery rates with time. Forest Ecology and Management, 143: 3-12.
- Eisenbies, M.H., Aust, W.M., Burger, J.A. and Adams, M.B., 2007. Forest Operations, Extreme Flooding Events, and Considerations for Hydrologic Modeling in the Appalachians, A review. Forest Ecology and Management, 242: 77-98.
- Froehlich, H.A., Milers, D.W.R. and Robbins, R.W., 1985. Soil bulk density recovery on compacted skid trails in Central Idaho. Soil Sci. Soc. Am. J., 49: 1015-1017.
- Klute, A., 1986. Method of Soil Analysis, Part 1: Physical and Mineralogical Methods. Madison, Wisconsin, USA, 1569 p.
- Naghdi R., Bagheri, I. and Basiri, R., 2010. Soil disturbances due to machinery traffic on steep skid trail in the north mountainous forest of Iran. Journal of Forest Research, 21(4): 497-502.
- Rab, M.A., 2004. Recovery of soil physical properties from compaction and soil profile disturbance caused by logging of native forest in Victorian Central Highlands, Australia. Forest Ecology and Management, 191: 329-340.
- Susnjar, M., Horvat, D. and Seselj, J., 2006. Soil compaction in timber skidding in winter conditions. Journal of Forest Engineering, 27: 3-15.
- Webb, R.H., 2002. Recovery of severely compacted soils in the Mojave desert, California (U.S.A). Arid Land Research and Management, 16: 291-305.
- Zenner, E.K., Fauskee, J.T., Berger, A.L. and Puettmann, K.J., 2007. Impacts of skidding traffic intensity on soil disturbance, soil recovery and Aspen regeneration in North Central Minnesota. North. J. Appl. For., 24(3): 177-183.

## Natural recovery assessment of some physical properties of forest soil compacted by ground base skidding

**Z. Mohammadi<sup>1\*</sup>, R. Naghdi<sup>2</sup>, M. Akef<sup>3</sup>, I. Bagheri<sup>4</sup> and A. Sayadi<sup>5</sup>**

<sup>1</sup>\* Corresponding author, M.Sc., Dept. of Pedology, Faculty of Agriculture, University of Guilan, Some'e Sara, I.R. Iran. E-mail: mohammadi\_z@hotmail.com

<sup>2</sup> Associate Prof., Dept. of Forestry, Faculty of Natural Resources, University of Guilan, Some'e Sara, I.R. Iran

<sup>3</sup> Assistant Prof., Faculty of Agriculture, University of Guilan, Some'e Sara, I.R. Iran

<sup>4</sup> Senior Expert, Faculty of Agriculture, University of Guilan, Some'e Sara, I.R. Iran

<sup>5</sup> MSc., Dept. of Forestry, General Office of Natural Resources and Watershed Management of Guilan province, Some'e Sara, I.R. Iran

Received: 30.11.2011 Accepted: 26.07.2012

### Abstract

Skidding machinery traffic can have a long-term detrimental impact on soil physical properties such as bulk density and strength. Therefore, the trial was conducted to investigate the recovery status of soil physical properties, compacted during twenty-year period at Asalem Forest, north of Iran. For this purpose, three parcels of the first and the second districts of Nave Asalam Forest, were chosen. The treatments consisted of three periods after skidding (1, 10 and 20 years), two slope classes ( $>20\%$  and  $<20\%$ ) and two traffic levels (high and low or control). In order to assess soil bulk density and soil strength a sample plot of  $12 \times 5$  m. was located at each treatment (totally 12 plots). At each plot, soil strength was measured directly by penetrometer and intact cores were sampled to measure bulk density in laboratory. The results showed that longitudinal slope gradient classes and traffic intensity levels were very important factors in soil recovery process in skid trails. Overall, it might be concluded that the most soil disturbances occurred on gradient more than 20% and high traffic levels. The result also showed that 20 years after skidding, soil bulk density and soil strength were under process of recovery, but have significant difference with the control treatment.

**Keywords:** Natural recovery, forest soil, soil physical properties.